

愛媛大学工学部 正員 ○渡辺政広, 豊國永次

近年、都市下水路システムで、豪雨時に発生するサーチャージと伴う流出の問題が重要な問題となってきた。こうした流出をシミュレートするモデルについてこれまで検討を進めていたが、本報告では、はじめに dynamic wave (D.W.) モデルを用いて解析する際のモデル・パラメーター (α 値) と流出 hydrograph との関係について検討し、次にこうした流出モデルの簡易化について、実用性を主に提案された SORKNET モデルを取り上げて検討した結果を述べる。

1. D.W. モデルにおけるモデル・パラメーター (α 値) と流出 hydrograph との関係に関する検討

モデルの概要；開水路流れとパイプ流れが発生する下水路システムの雨水流出を詳細にシミュレートするため、雨流れを dynamic wave として取扱う。開水路不足流の基礎式は(1)式の関係を用いるとパイプ流れへも適用でき、これより開水路流れとパイプ流れを統一して取扱うことができる。 $C = \sqrt{gA/B} = \alpha \cdots (1)$ ここで C は開水路流れの伝播速度、 α はパイプ流れの圧力波の速度、 A 、 B は流水断面積、水面幅(パイプ流れでは仮想のスロット幅)。

下水路システムにおけるパイプ内圧力波の速度；圧力波の速度 α 値は円形の鋼管や鉄筋コンクリート管に対して一般に $1000 \sim 1400 \text{ m/sec}$ 程度となるが、空気混入の増加と共に急激に低下する。多數の分合流渠を持つ都市下水路システムでは、かなりの空気混入があり、モデル・パラメーター α 値は凡そ数 $10 \sim$ 数 100 m/sec の範囲となる。

モデル・パラメーター (α 値) と流出 hydro. との関係；実用上上述の α 値が走数として取扱えると好都合となる。そこで α 値の大きさ ($10, 50, 100, 200, 400 \text{ m/sec}$) が流出 hydro. に及ぼす効果について、システム構成の異なる各下水路システムを対象に数種実験により検討した。まず、実流域の幹線排水区にみられる規模の下水路システム (Fig. 1) について、支線の各マンホールに流入 hydro. を与えたとき、幹線下流端の流量 hydro. (サーチャージ期間) を Fig. 2 に示す。全般的に流出波形は扁平化し、流出応答の緩慢な流量 hydro. となる。 α 値が $10, 50, 200 \text{ m/sec}$ と増大するにつれ、流出応答は上昇期に僅かに変動する特性が見られ、流量ピークの近くで流量 hydro. が僅かに増加する傾向が見られる。しかしそれらは僅小なもので、検討した α 値の範囲では実用上差異がないとして取扱えよう。

次に、Fig. 1 の下水路システムにおける支線数を順次減じ、システム構成を変えて (Fig. 3) 検討した。支線数が 5 本から 1 本の下水路システムにおける幹線下流端の流量 hydro. (サーチャージ期間) を Fig. 4 および 5 に示す。Fig. 2, 4, 5 より一般に α 値が

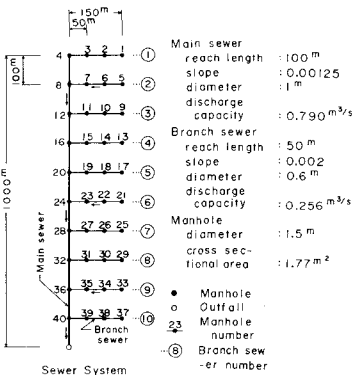


Fig. 1 実流域規模の下水路システム (支線数: 10)

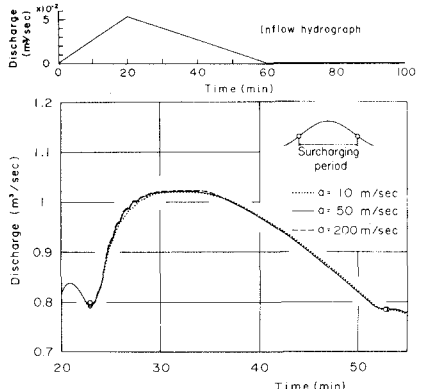


Fig. 2 圧力波の速度と流出 hydrograph (支線数: 10)

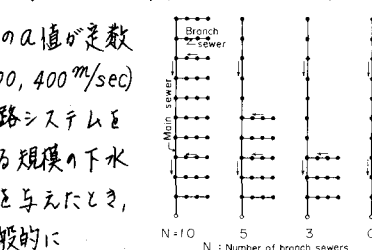


Fig. 3 構成 (支線数) による各下水路システム

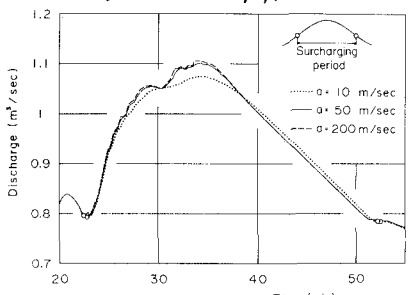


Fig. 4 圧力波の速度と流出 hydrograph (支線数: 5)

10, 50, 200, 400 m/sec と増大するにつれ、流出波形は鋭敏となり、流量ピークは大きく、かつ早くなる傾向が見られる。しかし支線のある下水路システムではそれらは僅小なものとなる。次にD.W.の値が50 m/sec程度以上の結果をみると、各下水路システムの場合共、流量 hydro. が殆んど一定の波形に近づく特性が見られ、特にFig. 7 の下水路システム(支線数10)では、モデル・パラメータの値を計算に便利な數10 m/sec程度の値としてよいであろう。

2. 流出モデルの簡易化に関する検討(SURKNETモデルの検討)

D.W. モデルの簡易化について、ここでは实用性を主に提案されたSURKNET モデルを取り上げ、数値実験により検討した。

モデルの概要；下水路システムの雨水流出を実用的にシミュレートするため、開水路流れとパイプ流れを組合せて取扱う。開水路流れに対しては kinematic wave 近似を適用し、マンホールでは連続式とマニピゲタイプの流出量の式と、またパイプ内各 reach では連続式と等流を仮定した貯留方程式をそれぞれ用いる。カーネージの状態では走管路流れ式とマンホールでの連続式を組み合わせ、カーネージに各パイプおよびマンホールに適用する。ここで下流マンホール水位は1つ前の時間ステップの値により近似しようと仮定し、追跡計算の簡単化が計られる。なおマンホールあるいはパイプ内各 reach にかかる水深 D が管径 D に対して次の不等式、 $h \leq 0.9/D$ を満たす状態となるとき、開水路流れとパイプ流れへの遷移が起こるものとしている。

モデルの検討；Fig. 1 の下水路システムを対象に、SURKNET モデルによるシミュレーション結果を D.W. モデルによるそれを対比して検討した。まず、開水路流れの領域について、流入 hydro. を支線の各マンホールに与え、幹線各マンホール地盤の流量 hydro. (Fig. 6) を求めた。支線下水路への背水とこれによる貯留の効果が入らない SURKNET モデルによる結果は、ピークは逆で過大に、下降期では過小となる傾向を示す。しかしピーク流量の相対誤差は幹線下流端においても10%程度以内に納まる。次に、カーネージを伴う流出について、流入 hydro. ならびに流出の規模を変えて検討し、支線下流端の流量 hydro. を Fig. 7 および Fig. 8 に示す。カーネージ期間についてみると一般に、D.W. モデルでは背水ならびに貯留の効果により、全般的に扁平化した流量 hydro. となる。一方こうした効果が十分に入らない SURKNET モデルでは、流出応答の鋭敏な流量 hydro. となり、ピーク流量は大きくかつ早く現れる特徴が見られる。しかしカーネージが下水路システムのほぼ全域に及ぶ規模の流出になると (Fig. 8)，システム内の貯留効果の見積りに余り差がみられなくなり、両モデルによる流量 hydro. の特性が次第に近似するようになる。

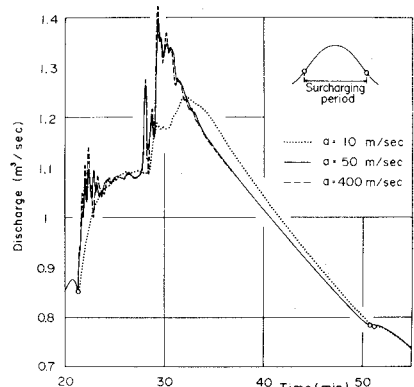


Fig. 5 圧力波の速度と流出 hydro. (支線数: 0)

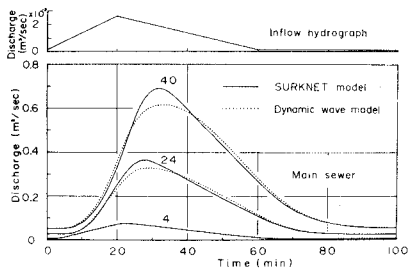


Fig. 6 開水路流れの領域に対する検討

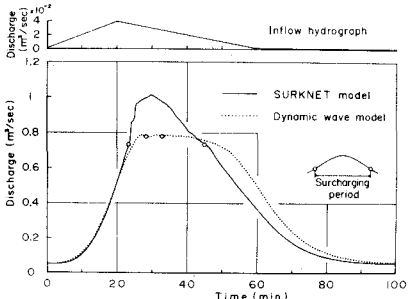


Fig. 7 カーネージがシステム一部(幹線下流部)で起こる場合

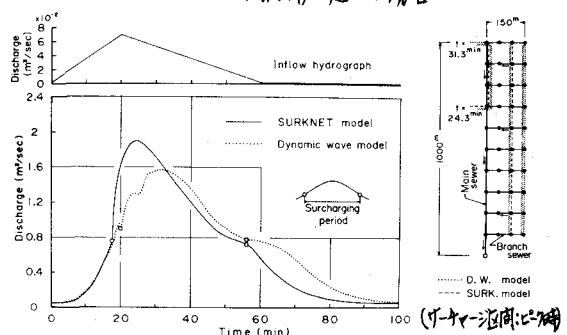


Fig. 8 カーネージがシステムのほぼ全域に及ぶ場合